

室蘭工業大学 正員
日本コンドト 正員

穂積 準
橋本 正利

1. はじめに

前報において、筆者らは沈降分析により原水とろ過水中の懸濁粒子の粒度分布を求めるこことによって、抑留濁質の砂層からのはく離流出量を半定量的に求め得ることを示した。また、抑留濁質のはく離現象に及ぼすろ過速度の影響について若干の知見を報告した。本報告では、均一粒径の砂粒子によってろ層を構成し、その粒径を変化させた場合の抑留濁質のはく離現象について述べることとした。

2. 実験方法

実験は内径 10cm のアクリル製円筒に均一粒径の砂を厚さ 5.2cm に充填し、逆流洗浄を施した砂層を用いてろ過速度を 120 cm/h に固定して行なった。原水としては濁度 20 ppm のカオリイン懸濁液に硫酸アルミニウムを 9 ppm 添加し、pH を 6.9 ～ 7.1 に調整したものを利用した。実験手順は次のようである。(1) 混和槽から内径 10cm、高さ 50cm のアクリル製沈降筒に供試原水を採水し、沈降分析を行なう。(2) 供試原水を連続的にろ過筒に送り、ろ過を開始する。(3) 所定時間毎にろ過水を沈降分析筒に採水し、沈降分析を行なうと共にろ過水濁度と損失水頭を測定する。

3. 実験結果と考察

図-1、2 はそれぞれ砂粒径を変化させた場合のろ過継続時間に伴うろ過水濁度と損失水頭の変化を示したものである。ろ過水濁度はろ過継続時間とともに小さくなり、2 ～ 6 時間で最小値を示し、その後徐々に大きくなり、砂層の濁質抑止能力は次第に失なわれてゆく。抑止能力は当然のことながら砂粒径の大きい程小さく、ろ過水濁度の最小値の発現時間も早くなる。損失水頭は、砂粒径の大きい場合にはろ過継続時間とともに直線的に増大し、砂粒径が小さくなるにつれて上に凸の曲線状に増大してゆくが、損失水頭がろ過継続期間中に突然急激に変化する現象はみられない。これは損失水頭に急激な変化を与えるような砂層空隙率の変化が生じていないことを示すものである。つまり、図-2 からはどのような変化を引き起す大規模な抑留濁質のはく離現象は認められない。図-3 は、図-1 の結果を面積分して求めた抑留濁質量の累加曲線を示したものである。

図-3 は、原水及びろ過水中の懸濁粒子の粒度分布を砂粒径 0.50 ～ 0.60 mm の場合を例にとって示したものである。この場合の粒度分布は沈降分析により得られた沈降速度分布及び Stokes の沈降速度式と Gemmell の密度函数を用いて求めたものである。本実験における原水中には 10μ 未満の粒子が 76%， 10 ～ 50μ の粒子が 24% 合まれ、50μ 以上の粒子は存在しない。ろ過継続時間 4 時間では、懸濁粒子が砂層に抑留されるのでろ過水中の各径の粒子の存在量は減少し、また、50μ 以上の粒子は発現しないが、ろ過継続時間 8 時間では、原本中に存在しない 50μ 以上の粒子が出現し、抑留と同時にはく離が生じていることを示している。さらに、ろ過が進行すると、50μ 以上の大径のはく離粒子量は次第に増加してゆく。それぞれの砂粒径についてろ過継続時間に伴う

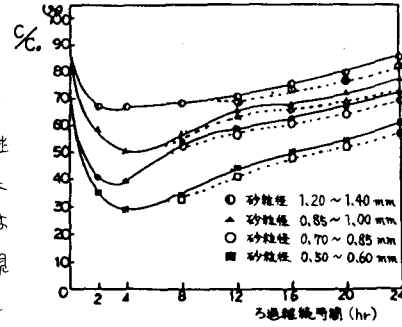


図-1 ろ過水濁度の経時変化

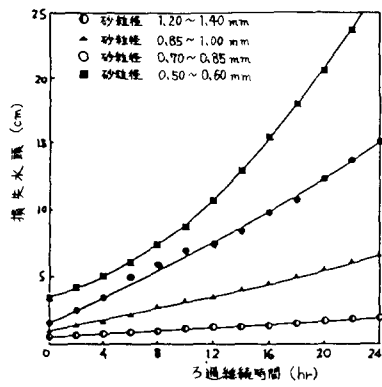


図-2 損失水頭の経時変化

はく離量の変化を求める、これより各3過継続時間における累加はく離量を求めると図-4のようである。また、図-1の結果を回積分して各3過継続時間における濁質抑留量の累加を求める、これと累加はく離量の関係を示すと図-5のようである。濁質抑留量がある一定の値に到つてはく離が生じ、それ以後、累加はく離量は抑留量の増大とともに曲線的に増大していく。また、はく離量は同一抑留量においては砂粒径の大きい程大きくなっている。

ここで、はく離量と抑留量の数量的関係について検討してみる。図-5の結果及び3過速度を変化させた場合の結果から、両者の関係は次式で表わされるものと考えられる。

$$\psi = \alpha (\sigma - \sigma_0)^n \quad \dots \dots \dots (1)$$

ここで、 ψ ：累加はく離量、 σ ：累加抑留量、 σ_0 ：はく離開始時点の抑留量、 α 、 n ：条件によって異なる係数。式中の係数 α 、 n を決定するためにはあらかじめ ψ を知る必要があるが、実測結果から正確なを得ることはできないので、便法として $4\psi_3 = \psi_4$ を満足する任意の3点を選んで ψ を求め、図-5の結果と照合して妥当なる ψ_0 の値を決定した。 ψ_0 の決定後、

式-(1)を直線表示し、これに最小二乗法を適用して係数 α 、 n を求めた。このようにして求めた各砂粒径における ψ_0 及び α 、 n を示すとそれが図-6及び図-7のようである。 ψ_0 は砂粒径が大きくなるにつれて漸減し、粒径 $0.85 \sim 1.00$ mm と $1.2 \sim 1.4$ mm ではほぼ同じ値を示す。係数 n は粒径によらず概略 1.5 の一定値を示し、一方、係数 α は砂粒径の増大とともに直線的に増

加していく。したがって、はく離量は $(\psi_0 - \psi)$ の $1/n$ 乗に比例し、はく離量に及ぼす砂粒径の影響は ψ_0 と α の変化として表わされるものと考えられる。特に、砂粒径の係数 α に及ぼす影響は大きいものと考えられる。

4.あとがき

砂粒径のみならず、3過速度、凝集削注入率等のはく離現象に及ぼす影響についてさらに検討することとした。最後に、本研究を行なうにあたり大工信也、原敬治両君の協力を得たことを付記し、感謝の意を表したい。
<引用文献> 1) 積木、橋本、第37回年譲、II-56、1982.10, 2) 橋木、橋本、北海道支部論文報告集、第40号、II-16、1984.2

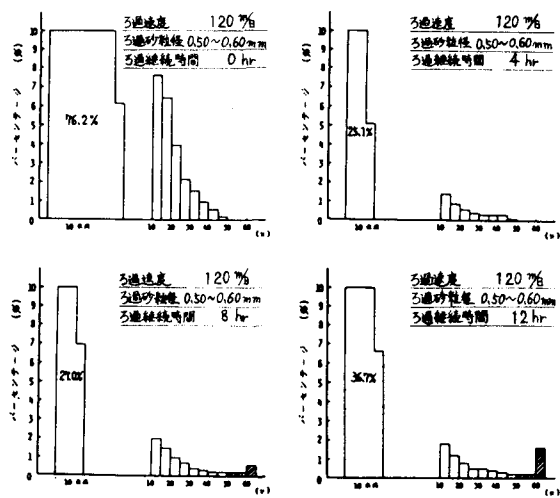


図-3 原水と3過水の粒度分布

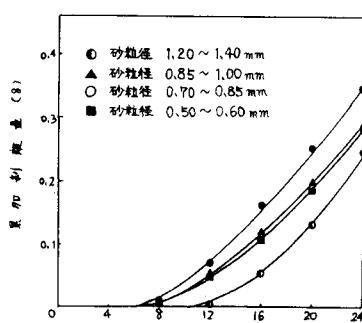


図-4 はく離量の経時変化

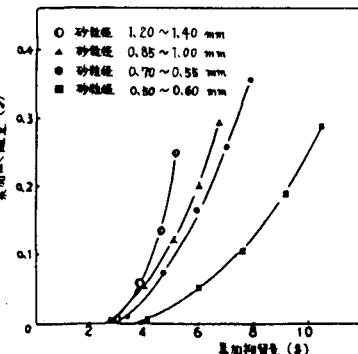


図-5 はく離量と抑留量の関係

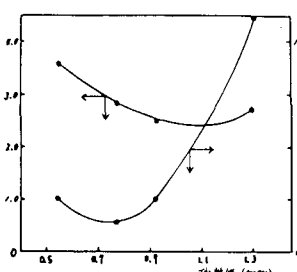


図-6 ψ_0 及びはく離開始時間と砂粒径の関係

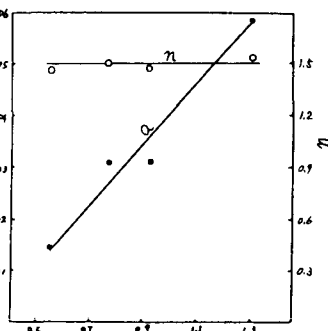


図-7 α, n と砂粒径の関係